

A propos de l'équation de transport
Solutions faibles - Traces - Schéma upwind

Franck BOYER

Laboratoire d'Analyse, Topologie et Probabilités
Aix-Marseille Université

Toulouse, Janvier 2012

- 1 INTRODUCTION
- 2 TH. DE TRACES - PB. DE CAUCHY/DIRICHLET
- 3 ANALYSE DU SCHÉMA UPWIND IMPLICITE

- 1 INTRODUCTION
- 2 TH. DE TRACES - PB. DE CAUCHY/DIRICHLET
- 3 ANALYSE DU SCHÉMA UPWIND IMPLICITE

EQUATION DE TRANSPORT - RÉACTION DANS \mathbb{R}^d :

$$\begin{cases} \partial_t \rho + \operatorname{div}(\rho v) + c\rho = 0 & \text{dans } \mathbb{R}^d, \\ \rho(0) = \rho_0, \end{cases} \quad (\text{E})$$

avec

$v : \mathbb{R} \times \mathbb{R}^d \mapsto \mathbb{R}^d$ Lipschitzien borné et $c : \mathbb{R} \times \mathbb{R}^d \mapsto \mathbb{R}$ continue.

COURBES CARACTÉRISTIQUES :

$$\begin{cases} \frac{d}{ds} X(s, t, x) = v(s, X(s, t, x)), \\ X(t, t, x) = x. \end{cases}$$

PROPOSITION

Si ρ_0 est régulière, l'*unique solution régulière* de (E) est

$$\rho(t, x) = \rho_0(X(0, t, x)) \exp\left(\int_0^t -(c + \operatorname{div} v)(s, X(s, t, x)) ds\right).$$

EQUATION DE TRANSPORT DANS Ω OUVERT BORNÉ RÉGULIER :

$$\begin{cases} \partial_t \rho + \operatorname{div}(\rho v) + c\rho = 0 & \text{dans } \Omega, \\ \rho(0) = \rho_0, \end{cases} \quad (\text{E})$$

avec un champ de vecteurs **tangent**

$$v : \mathbb{R} \times \Omega \mapsto \mathbb{R}^d \text{ Lip., borné, et } v \cdot \nu = 0 \text{ sur } \partial\Omega.$$

Les courbes caractéristiques sont bien définies et restent dans Ω

$$X(s, t, x) \in \Omega, \quad \forall t, s, \forall x \in \Omega.$$

PROPOSITION

Si ρ_0 est régulière, l'**unique solution régulière** de (E) est

$$\rho(t, x) = \rho_0(X(0, t, x)) \exp\left(\int_0^t -(c + \operatorname{div} v)(s, X(s, t, x)) ds\right).$$

ÉCOULEMENT D'UN FLUIDE NON-HOMOGÈNE INCOMPRESSIBLE

$$\begin{cases} \partial_t \rho + \operatorname{div}(\rho v) = 0, \\ \partial_t(\rho v) + \operatorname{div}(\rho v \otimes v) - 2\operatorname{div}(\mu(\rho)D(v)) + \nabla p = \rho f, \\ \operatorname{div} v = 0, \\ v = 0, \text{ sur } \partial\Omega. \end{cases}$$

- Mélange de deux fluides non miscibles :

$$\rho_0(x) \in \{\rho_{\text{fluide1}}, \rho_{\text{fluide2}}\}.$$

↔ Nécessité de prendre en compte les données initiales peu régulières.

- On peut espérer au mieux :

$$v \in L^2(]0, T[, (H_0^1(\Omega))^d),$$

et certainement pas Lipschitzien.

DÉFINITION (SOLUTIONS FAIBLES)

Soit $\rho_0 \in L^\infty(\Omega)$, on dit que $\rho \in L^\infty([0, T[\times \Omega)$ est solution faible si

$$\int_0^T \int_\Omega \rho (\partial_t \varphi + v \cdot \nabla \varphi - c \varphi) dt dx + \int_\Omega \rho_0 \varphi(0, \cdot) dx = 0,$$

pour tout $\varphi \in \mathcal{C}_c^1([0, T[\times \Omega)$.

DÉFINITION (SOLUTIONS FAIBLES)

Soit $\rho_0 \in L^\infty(\Omega)$, on dit que $\rho \in L^\infty([0, T[\times \Omega)$ est solution faible si

$$\int_0^T \int_\Omega \rho (\partial_t \varphi + v \cdot \nabla \varphi - c \varphi) dt dx + \int_\Omega \rho_0 \varphi(0, \cdot) dx = 0,$$

pour tout $\varphi \in \mathcal{C}_c^1([0, T[\times \Omega)$.

PROPOSITION

Soient $\rho_0 \in L^\infty(\Omega)$, v Lipschitzien avec $v \cdot \nu = 0$ et c continue.

La fonction

$$\rho(t, x) = \rho_0(X(0, t, x)) \exp \left(\int_0^t -(c + \operatorname{div} v)(s, X(s, t, x)) ds \right),$$

est **une** solution faible du problème.

Rq : La quantité $(c + \operatorname{div} v)^-$ contrôle la borne L^∞ de ρ .

DÉFINITION (SOLUTIONS FAIBLES)

Soit $\rho_0 \in L^\infty(\Omega)$, on dit que $\rho \in L^\infty(]0, T[\times \Omega)$ est solution faible si

$$\int_0^T \int_\Omega \rho (\partial_t \varphi + v \cdot \nabla \varphi - c \varphi) dt dx + \int_\Omega \rho_0 \varphi(0, \cdot) dx = 0,$$

pour tout $\varphi \in \mathcal{C}_c^1([0, T[\times \Omega)$.

THÉORÈME

Soient $\rho_0 \in L^\infty(\Omega)$, $v \in L^1(]0, T[\times \Omega)^d$, $c \in L^1(]0, T[\times \Omega)$.

Si $(c + \operatorname{div} v)^- \in L^1(]0, T[, L^\infty(\Omega))$, il existe *au moins* une solution faible bornée de l'équation de transport.

Quid de l'unicité? de la régularité? des propriétés qualitatives?

Rq : On a immédiatement que $\rho \in \mathcal{C}^0([0, T], L^\infty(\Omega)_{w*})$.

NOTION DE SOLUTIONS RENORMALISÉES :

- (DiPerna-Lions, 1989)

NOTION DE SOLUTIONS RENORMALISÉES :

- (DiPerna-Lions, 1989)

THÉORÈME (RENORMALISATION)

Soient $\rho_0 \in L^\infty(\Omega)$, $v \in L^1(]0, T[, (W^{1,1}(\Omega))^d)$ et $v \cdot \nu = 0$ sur $\partial\Omega$,
 $c \in L^1(]0, T[\times\Omega)$. Pour toute fonction $\beta \in \mathcal{C}^1(\mathbb{R})$ et toute solution faible
 $\rho \in L^\infty(]0, T[\times\Omega)$ pour la donnée ρ_0 , on a :

$$\partial_t \beta(\rho) + \operatorname{div}(\beta(\rho)v) + c\beta'(\rho)\rho + (\operatorname{div} v)(\beta'(\rho)\rho - \beta(\rho)) = 0,$$

au sens faible ainsi que $\beta(\rho)|_{t=0} = \beta(\rho_0)$.

Il s'agit de justifier le calcul formel suivant

$$\partial_t \beta(\rho) + v \cdot \nabla \beta(\rho) = \beta'(\rho)(\partial_t \rho + v \cdot \nabla \rho).$$

Rq : β continue et \mathcal{C}^1 par morceaux suffit !

Pour cela, on montre d'abord que pour tout $\alpha \neq 0$, on a

$$c + \operatorname{div} v = 0, \quad \text{p.p. dans } \{\rho = \alpha\}.$$

NOTION DE SOLUTIONS RENORMALISÉES :

- (DiPerna-Lions, 1989)

THÉORÈME (RENORMALISATION)

Soient $\rho_0 \in L^\infty(\Omega)$, $v \in L^1(]0, T[, (W^{1,1}(\Omega))^d)$ et $v \cdot \nu = 0$ sur $\partial\Omega$,
 $c \in L^1(]0, T[\times\Omega)$. Pour toute fonction $\beta \in C^1(\mathbb{R})$ et toute solution faible
 $\rho \in L^\infty(]0, T[\times\Omega)$ pour la donnée ρ_0 , on a :

$$\partial_t \beta(\rho) + \operatorname{div}(\beta(\rho)v) + c\beta'(\rho)\rho + (\operatorname{div} v)(\beta'(\rho)\rho - \beta(\rho)) = 0,$$

au sens faible **ainsi que** $\beta(\rho)|_{t=0} = \beta(\rho_0)$.

COROLLAIRE (UNICITÉ ET RÉGULARITÉ EN TEMPS)

Sous l'hypothèse supplémentaire $(\operatorname{div} v)^+ \in L^1(]0, T[, L^\infty(\Omega))$.

Si une solution faible bornée ρ pour la donnée ρ_0 existe, elle est **unique** et de plus

$$\rho \in C^0([0, T], L^q(\Omega)), \quad \forall q < +\infty.$$

NOTION DE SOLUTIONS RENORMALISÉES :

- (DiPerna-Lions, 1989)

Article fondateur de la théorie des solutions renormalisées.

- (Desjardins, 1996)

Hypothèses plus générales, notamment sur la divergence de v .

- (N. Depauw, 2003)

Contre-exemple à l'unicité pour un champ $L^1_{loc}([0, T], BV(\Omega))$ mais pas dans $L^1([0, T[, BV(\Omega))$.

- (L. Ambrosio, 2004)

Cas $v \in L^1([0, T[, (BV(\mathbb{R}^d))^d)$ et $\operatorname{div} v \in L^1([0, T[\times \mathbb{R}^d)$.

\rightsquigarrow Tous ces travaux permettent de définir un unique flot Lagrangien régulier (caractéristiques X) pour le champ de vecteurs v , à partir de l'EDP.

$$\partial_t \rho + \operatorname{div}(\rho v) + c\rho = 0.$$

- Pour la **définition** des solutions faibles, $v \in L^1$ et $c \in L^1$ suffit.
- Pour l'**existence** d'une solution faible bornée associée à une donnée $\rho_0 \in L^\infty(\Omega)$, on a besoin de

$$(c + \operatorname{div} v)^- \in L^1(]0, T[, L^\infty(\Omega)).$$

Dans le cas de l'advection simple $c = -\operatorname{div} v$, cette hypothèse est triviale.

- Pour la propriété de **renormalisation**, on a besoin de régularité sur v :
 $v \in L^1(]0, T[, W^{1,1}(\Omega))$...
 ... ou éventuellement $L^1(BV)$ mais avec $\operatorname{div} v \in L^1$!
- Pour l'**unicité** on a besoin de la renormalisation et aussi de

$$(\operatorname{div} v)^+ \in L^1(]0, T[, L^\infty(\Omega)),$$

ou un peu moins (Cf. Desjardins).

- Tout ceci est valable pour un champ tangent au bord du domaine.

- 1 INTRODUCTION
- 2 TH. DE TRACES - PB. DE CAUCHY/DIRICHLET
- 3 ANALYSE DU SCHÉMA UPWIND IMPLICITE

On étudie la même équation que précédemment

$$\partial_t \rho + \operatorname{div}(\rho v) + c\rho = 0 \quad \text{dans } \Omega \quad (1)$$

avec un champ de vecteurs **non-nécessairement tangent**, par exemple

$$v \in L^1(]0, T[, (W^{1,1}(\Omega))^d), \text{ et } v \cdot \nu \neq 0 \text{ sur } \partial\Omega.$$

PROBLÈMES À RÉSOUDRE :

- Peut-on donner un sens aux traces sur $\Gamma = \partial\Omega$ des solutions faibles bornées de (1) ?
- Quel est le bon **espace de traces** ?
- Peut-on résoudre le problème de Cauchy-Dirichlet avec donnée au bord là où le champ v est **entrant** ?

NOTATION : MESURES SUR $]0, T[\times \Gamma$

$$d\mu_v = (v \cdot \nu) dt d\sigma, \quad |d\mu_v| = |v \cdot \nu| dt d\sigma,$$

$$d\mu_v = d\mu_v^+ - d\mu_v^-, \quad |d\mu_v| = d\mu_v^+ + d\mu_v^-.$$

- (Bardos, 1970)

→ Cas d'un champ $v(x)$ Lipschitzien par la méthode des caractéristiques. Approche semi-groupes.

- (Cessenat, 1984)

→ Théorème et espace de traces pour

$$\partial_t \rho + \xi \cdot \nabla_x \rho = 0, \quad (t, x, \xi) \in]0, T[\times \Omega \times \mathbb{R}^d.$$

- (Mischler, 2000)

→ Equation de Vlasov :

$$\partial_t \rho + \xi \cdot \nabla_x \rho + E(t, x) \cdot \nabla_\xi \rho = 0, \quad (t, x, \xi) \in]0, T[\times \Omega \times \mathbb{R}^d.$$

- (Lods et al., 2007-2010)

→ Cas d'un champ $v(x)$ Lipschitzien dont le flot possède une mesure invariante. Méthode des caractéristiques. Etude fine de l'opérateur de transport associé.

(B., 2005)

- $c \in L^1(]0, T[\times \Omega)$
- $v \in L^1(]0, T[, (W^{1,1}(\Omega))^d)$ avec $v \cdot \nu \in L^\alpha(]0, T[\times \Gamma)$, $\alpha > 1$.
- On suppose $(\operatorname{div} v)^+$ et $(c + \operatorname{div} v)^-$ dans $L^1(]0, T[, L^\infty(\Omega))$.

(B., 2005)

- $c \in L^1(]0, T[\times \Omega)$
- $v \in L^1(]0, T[, (W^{1,1}(\Omega))^d)$ avec $v \cdot \nu \in L^\alpha(]0, T[\times \Gamma)$, $\alpha > 1$.
- On suppose $(\operatorname{div} v)^+$ et $(c + \operatorname{div} v)^-$ dans $L^1(]0, T[, L^\infty(\Omega))$.

THÉORÈME (DE TRACES)

Soit $\rho \in L^\infty(]0, T[\times \Omega)$ une solution faible de $\partial_t \rho + \operatorname{div}(\rho v) + c\rho = 0$.

- ① ρ est dans $C^0([0, T], L^q(\Omega))$, pour tout $1 \leq q < +\infty$.

(B., 2005)

- $c \in L^1(]0, T[\times \Omega)$
- $v \in L^1(]0, T[, (W^{1,1}(\Omega))^d)$ avec $v \cdot \nu \in L^\alpha(]0, T[\times \Gamma)$, $\alpha > 1$.
- On suppose $(\operatorname{div} v)^+$ et $(c + \operatorname{div} v)^-$ dans $L^1(]0, T[, L^\infty(\Omega))$.

THÉORÈME (DE TRACES)

Soit $\rho \in L^\infty(]0, T[\times \Omega)$ une solution faible de $\partial_t \rho + \operatorname{div}(\rho v) + c\rho = 0$.

- 1 ρ est dans $C^0([0, T], L^q(\Omega))$, pour tout $1 \leq q < +\infty$.
- 2 Il existe $\gamma\rho \in L^\infty(]0, T[\times \Gamma, |d\mu_v|)$, *unique* $|d\mu_v| - p.p.$, telle que

$$\int_{t_0}^{t_1} \int_{\Omega} \rho(\partial_t \varphi + v \cdot \nabla \varphi - c\varphi) dt dx + \int_{\Omega} \rho(t_0)\varphi(t_0) dx - \int_{\Omega} \rho(t_1)\varphi(t_1) dx - \int_{t_0}^{t_1} \int_{\Gamma} (\gamma\rho)\varphi(v \cdot \nu) d\sigma dt = 0.$$

$$\forall \varphi \in C^1([0, T] \times \bar{\Omega}), \forall t_0, t_1 \in [0, T]$$

Rq : Résultat intéressant même si $v \cdot \nu = 0$ sur le bord.

Toute solution faible bornée ρ vérifie le

THÉORÈME

$\forall \beta \in \mathcal{C}_b^1(\mathbb{R}), \forall \varphi \in \mathcal{C}^1([0, T] \times \overline{\Omega}), \forall t_0, t_1 \in [0, T]$

$$\begin{aligned} & \int_{t_0}^{t_1} \int_{\Omega} \beta(\rho)(\partial_t \varphi + v \cdot \nabla \varphi) \, dx dt \\ & - \int_{t_0}^{t_1} \int_{\Omega} [c\rho\beta'(\rho) + (\rho\beta'(\rho) - \beta(\rho))(\operatorname{div} v)] \varphi \, dx dt \\ & + \int_{\Omega} \beta(\rho(t_0))\varphi(t_0) \, dx - \int_{\Omega} \beta(\rho(t_1))\varphi(t_1) \, dx - \int_{t_0}^{t_1} \int_{\Gamma} \beta(\gamma\rho)\varphi(v \cdot \nu) \, d\sigma dt = 0. \end{aligned}$$

Nombreuses conséquences :

$$\text{Monotonie / Unicité : } \left. \begin{array}{l} \rho(0) \geq 0 \\ \gamma^- \rho \geq 0 \end{array} \right\} \Rightarrow \left\{ \begin{array}{l} \rho \geq 0 \\ \gamma^+ \rho \geq 0 \end{array} \right.$$

Des estimations de $\sup \rho, \inf \rho$ de la mesure des ensembles de niveau de ρ, \dots

RÉGULARISATION PAR CONVOLUTION

 Ω régulier

$\eta : \mathbb{R}^d \mapsto \mathbb{R}$ régulier, à support dans $B(0, 1)$ et de masse 1. On pose

$$\rho_\varepsilon(t, y) = \rho \star_\nu \eta_\varepsilon(t, y) \stackrel{\text{def}}{=} \frac{1}{\varepsilon^d} \int_{\Omega} \rho(t, x) \eta \left(\frac{y - x - 2\varepsilon\nu(y)}{\varepsilon} \right) dx.$$

RÉGULARISATION PAR CONVOLUTION

 Ω régulier

$\eta : \mathbb{R}^d \mapsto \mathbb{R}$ régulier, à support dans $B(0, 1)$ et de masse 1. On pose

$$\rho_\varepsilon(t, y) = \rho \star_\nu \eta_\varepsilon(t, y) \stackrel{\text{def}}{=} \frac{1}{\varepsilon^d} \int_{\Omega} \rho(t, x) \eta \left(\frac{y - x - 2\varepsilon\nu(y)}{\varepsilon} \right) dx.$$

Si $\rho \in L^\infty(]0, T[\times \Omega)$ est solution faible de l'équation alors on a

$$\partial_t \rho_\varepsilon + \operatorname{div}(\rho_\varepsilon v) + c\rho_\varepsilon = R_\varepsilon,$$

RÉGULARISATION PAR CONVOLUTION

 Ω régulier

$\eta : \mathbb{R}^d \mapsto \mathbb{R}$ régulier, à support dans $B(0, 1)$ et de masse 1. On pose

$$\rho_\varepsilon(t, y) = \rho \star_\nu \eta_\varepsilon(t, y) \stackrel{\text{def}}{=} \frac{1}{\varepsilon^d} \int_{\Omega} \rho(t, x) \eta \left(\frac{y - x - 2\varepsilon \nu(y)}{\varepsilon} \right) dx.$$

Si $\rho \in L^\infty(]0, T[\times \Omega)$ est solution faible de l'équation alors on a

$$\partial_t \rho_\varepsilon + \operatorname{div}(\rho_\varepsilon v) + c \rho_\varepsilon = R_\varepsilon,$$

- **Lemme de Friedrichs ('58)** : $R_\varepsilon \in L^1(]0, T[\times \Omega)$ et $\|R_\varepsilon\|_{L^1} \rightarrow 0$.

RÉGULARISATION PAR CONVOLUTION

 Ω régulier

$\eta : \mathbb{R}^d \mapsto \mathbb{R}$ régulier, à support dans $B(0, 1)$ et de masse 1. On pose

$$\rho_\varepsilon(t, y) = \rho \star_\nu \eta_\varepsilon(t, y) \stackrel{\text{def}}{=} \frac{1}{\varepsilon^d} \int_{\Omega} \rho(t, x) \eta \left(\frac{y - x - 2\varepsilon\nu(y)}{\varepsilon} \right) dx.$$

Si $\rho \in L^\infty(]0, T[\times \Omega)$ est solution faible de l'équation alors on a

$$\partial_t \rho_\varepsilon + \operatorname{div}(\rho_\varepsilon v) + c\rho_\varepsilon = R_\varepsilon,$$

- **Lemme de Friedrichs ('58) :** $R_\varepsilon \in L^1(]0, T[\times \Omega)$ et $\|R_\varepsilon\|_{L^1} \rightarrow 0$.
- $\rho_\varepsilon \in L^\infty(]0, T[, \mathcal{C}^\infty(\overline{\Omega}))$ et
 - $\rho_\varepsilon \rightarrow \rho$ dans $L^p(]0, T[\times \Omega)$ pour tout $p < +\infty$.
 - Pour tout $t \in [0, T]$, $\rho_\varepsilon(t) \rightarrow \rho(t)$ dans $L^p(\Omega)$.

RÉGULARISATION PAR CONVOLUTION

 Ω régulier

$\eta : \mathbb{R}^d \mapsto \mathbb{R}$ régulier, à support dans $B(0, 1)$ et de masse 1. On pose

$$\rho_\varepsilon(t, y) = \rho \star_\nu \eta_\varepsilon(t, y) \stackrel{\text{def}}{=} \frac{1}{\varepsilon^d} \int_{\Omega} \rho(t, x) \eta\left(\frac{y - x - 2\varepsilon\nu(y)}{\varepsilon}\right) dx.$$

Si $\rho \in L^\infty(]0, T[\times \Omega)$ est solution faible de l'équation alors on a

$$\partial_t \rho_\varepsilon + \operatorname{div}(\rho_\varepsilon v) + c\rho_\varepsilon = R_\varepsilon,$$

- **Lemme de Friedrichs ('58) :** $R_\varepsilon \in L^1(]0, T[\times \Omega)$ et $\|R_\varepsilon\|_{L^1} \rightarrow 0$.
- $\rho_\varepsilon \in L^\infty(]0, T[, \mathcal{C}^\infty(\overline{\Omega}))$ et
 - $\rho_\varepsilon \rightarrow \rho$ dans $L^p(]0, T[\times \Omega)$ pour tout $p < +\infty$.
 - Pour tout $t \in [0, T]$, $\rho_\varepsilon(t) \rightarrow \rho(t)$ dans $L^p(\Omega)$.
- $\partial_t \rho_\varepsilon$ est dans L^1 et donc $\rho_\varepsilon \in \mathcal{C}^0([0, T], L^1(\Omega))$.

RÉGULARISATION PAR CONVOLUTION

 Ω régulier

$\eta : \mathbb{R}^d \mapsto \mathbb{R}$ régulier, à support dans $B(0, 1)$ et de masse 1. On pose

$$\rho_\varepsilon(t, y) = \rho \star_\nu \eta_\varepsilon(t, y) \stackrel{\text{def}}{=} \frac{1}{\varepsilon^d} \int_{\Omega} \rho(t, x) \eta\left(\frac{y - x - 2\varepsilon\nu(y)}{\varepsilon}\right) dx.$$

Si $\rho \in L^\infty(]0, T[\times \Omega)$ est solution faible de l'équation alors on a

$$\partial_t \rho_\varepsilon + \operatorname{div}(\rho_\varepsilon v) + c\rho_\varepsilon = R_\varepsilon,$$

- **Lemme de Friedrichs ('58) :** $R_\varepsilon \in L^1(]0, T[\times \Omega)$ et $\|R_\varepsilon\|_{L^1} \rightarrow 0$.
- $\rho_\varepsilon \in L^\infty(]0, T[, \mathcal{C}^\infty(\overline{\Omega}))$ et
 - $\rho_\varepsilon \rightarrow \rho$ dans $L^p(]0, T[\times \Omega)$ pour tout $p < +\infty$.
 - Pour tout $t \in [0, T]$, $\rho_\varepsilon(t) \rightarrow \rho(t)$ dans $L^p(\Omega)$.
- $\partial_t \rho_\varepsilon$ est dans L^1 et donc $\rho_\varepsilon \in \mathcal{C}^0([0, T], L^1(\Omega))$.
- On montre que $(\rho_\varepsilon)_\varepsilon$ est de Cauchy dans $\mathcal{C}^0([0, T], L^1(\Omega))$.

RÉGULARISATION PAR CONVOLUTION

 Ω régulier

$\eta : \mathbb{R}^d \mapsto \mathbb{R}$ régulier, à support dans $B(0, 1)$ et de masse 1. On pose

$$\rho_\varepsilon(t, y) = \rho \star_\nu \eta_\varepsilon(t, y) \stackrel{\text{def}}{=} \frac{1}{\varepsilon^d} \int_{\Omega} \rho(t, x) \eta\left(\frac{y - x - 2\varepsilon\nu(y)}{\varepsilon}\right) dx.$$

Si $\rho \in L^\infty(]0, T[\times \Omega)$ est solution faible de l'équation alors on a

$$\partial_t \rho_\varepsilon + \operatorname{div}(\rho_\varepsilon v) + c\rho_\varepsilon = R_\varepsilon,$$

- **Lemme de Friedrichs ('58) :** $R_\varepsilon \in L^1(]0, T[\times \Omega)$ et $\|R_\varepsilon\|_{L^1} \rightarrow 0$.
- $\rho_\varepsilon \in L^\infty(]0, T[, \mathcal{C}^\infty(\overline{\Omega}))$ et
 - $\rho_\varepsilon \rightarrow \rho$ dans $L^p(]0, T[\times \Omega)$ pour tout $p < +\infty$.
 - Pour tout $t \in [0, T]$, $\rho_\varepsilon(t) \rightarrow \rho(t)$ dans $L^p(\Omega)$.
- $\partial_t \rho_\varepsilon$ est dans L^1 et donc $\rho_\varepsilon \in \mathcal{C}^0([0, T], L^1(\Omega))$.
- ① On montre que $(\rho_\varepsilon)_\varepsilon$ est de Cauchy dans $\mathcal{C}^0([0, T], L^1(\Omega))$.
- ② On montre que les traces de ρ_ε sont de Cauchy dans $L^2(]0, T[\times \Gamma, d\mu_\nu^\alpha)$.

$c \in L^1(]0, T[\times \Omega)$, $v \in L^1(]0, T[, (W^{1,1}(\Omega))^d)$, $v \cdot \nu \in L^\alpha(]0, T[\times \Gamma)$, $\alpha > 1$.

On suppose :

$$(c + \operatorname{div} v)^- \in L^1(]0, T[, L^\infty(\Omega)) \text{ et } (\operatorname{div} v)^+ \in L^1(]0, T[, L^\infty(\Omega)).$$

$c \in L^1(]0, T[\times \Omega)$, $v \in L^1(]0, T[, (W^{1,1}(\Omega))^d)$, $v \cdot \nu \in L^\alpha(]0, T[\times \Gamma)$, $\alpha > 1$.

On suppose :

$$(c + \operatorname{div} v)^- \in L^1(]0, T[, L^\infty(\Omega)) \text{ et } (\operatorname{div} v)^+ \in L^1(]0, T[, L^\infty(\Omega)).$$

THÉORÈME

• Pour tout $\rho_0 \in L^\infty(\Omega)$ et tout $\rho^{in} \in L^\infty(]0, T[\times \Gamma, d\mu_\nu^-)$, il existe $\rho \in L^\infty(]0, T[\times \Omega)$ et $\rho^{out} \in L^\infty(]0, T[\times \Gamma, d\mu_\nu^+)$ **uniques** tels que pour tout $\varphi \in \mathcal{C}_c^1(]0, T[\times \bar{\Omega})$

$$\begin{aligned} & \int_0^T \int_\Omega \rho (\partial_t \varphi + v \cdot \nabla \varphi - c \varphi) dt dx + \int_\Omega \rho_0 \varphi(0) dx \\ & - \int_0^T \int_\Gamma \rho^{out} \varphi (v \cdot \nu)^+ d\sigma dt + \int_0^T \int_\Gamma \rho^{in} \varphi (v \cdot \nu)^- d\sigma dt = 0. \end{aligned}$$

- **Continuité :** ρ est dans $\mathcal{C}^0(]0, T[, L^q(\Omega))$ pour tout $q < +\infty$.
- **+ Renormalisation.**

UNICITÉ : Renormalisation + $(\operatorname{div} v)^+ \in L^1(]0, T[, L^\infty(\Omega))$.

UNICITÉ : Renormalisation + $(\operatorname{div} v)^+ \in L^1(]0, T[, L^\infty(\Omega))$.

EXISTENCE PAR APPROXIMATION PARABOLIQUE :

$$\begin{cases} \partial_t \tilde{\rho}_\varepsilon + \operatorname{div}(\tilde{\rho}_\varepsilon v) + c \tilde{\rho}_\varepsilon - \varepsilon \Delta \tilde{\rho}_\varepsilon = 0, & \text{dans } \Omega \\ \tilde{\rho}_\varepsilon(t=0) = \rho_0, \\ \varepsilon \frac{\partial \tilde{\rho}_\varepsilon}{\partial \nu} + (\tilde{\rho}_\varepsilon - \rho^{in})(v \cdot \nu)^- = 0, & \text{sur } \partial\Omega. \end{cases}$$

UNICITÉ : Renormalisation + $(\operatorname{div} v)^+ \in L^1(]0, T[, L^\infty(\Omega))$.

EXISTENCE PAR APPROXIMATION PARABOLIQUE :

$$\left\{ \begin{array}{l} \partial_t \tilde{\rho}_\varepsilon + \operatorname{div}(\tilde{\rho}_\varepsilon v) + c \tilde{\rho}_\varepsilon - \varepsilon \Delta \tilde{\rho}_\varepsilon = 0, \quad \text{dans } \Omega \\ \tilde{\rho}_\varepsilon(t=0) = \rho_0, \\ \varepsilon \frac{\partial \tilde{\rho}_\varepsilon}{\partial \nu} + (\tilde{\rho}_\varepsilon - \rho^{in})(v \cdot \nu)^- = 0, \quad \text{sur } \partial\Omega. \end{array} \right.$$

ESTIMATIONS : Ici on utilise $(c + \operatorname{div} v)^- \in L^1(]0, T[, L^\infty(\Omega))$.

$$\left. \begin{array}{l} \|\tilde{\rho}_\varepsilon\|_{L^\infty(]0, T[\times \Omega)} \leq C \\ \|\tilde{\rho}_\varepsilon\|_{L^\infty(]0, T[\times \Gamma, d\mu_v^+)} \leq C \\ \sqrt{\varepsilon} \|\nabla \tilde{\rho}_\varepsilon\|_{L^2(]0, T[\times \Omega)} \leq C \end{array} \right\} \implies \text{convergences faibles-}\star.$$

PASSAGE À LA LIMITE IMMÉDIAT :

On vérifie que la trace limite $\gamma\rho$ s'écrit bien sous la forme

$$\gamma\rho(v \cdot \nu) = \rho^{out}(v \cdot \nu)^+ - \rho^{in}(v \cdot \nu)^-.$$

PRINCIPE DE COMPARAISON

$$\left. \begin{array}{l} \rho_0^1 \leq \rho_0^2, \text{ p.p.} \\ \rho_1^{in} \leq \rho_2^{in}, \text{ } d\mu_v^- \text{-p.p.} \end{array} \right\} \implies \left\{ \begin{array}{l} \rho_1 \leq \rho_2, \text{ p.p.} \\ \rho_1^{out} \leq \rho_2^{out}, \text{ } d\mu_v^+ \text{-p.p.} \end{array} \right.$$

PRINCIPE DU PRODUIT

$$\left. \begin{array}{l} \partial_t \rho_1 + v \cdot \nabla \rho_1 = f_1 \\ \partial_t \rho_2 + v \cdot \nabla \rho_2 = f_2 \end{array} \right\} \implies \left\{ \begin{array}{l} \partial_t(\rho_1 \rho_2) + v \cdot \nabla(\rho_1 \rho_2) = \rho_1 f_2 + \rho_2 f_1 \\ \gamma(\rho_1 \rho_2) = (\gamma \rho_1)(\gamma \rho_2) \end{array} \right.$$

$$\begin{cases} \partial_t \tilde{\rho}_\varepsilon + \operatorname{div}(\tilde{\rho}_\varepsilon v) + c\tilde{\rho}_\varepsilon - \varepsilon \Delta \tilde{\rho}_\varepsilon = 0, & \text{dans } \Omega \\ \tilde{\rho}_\varepsilon(t=0) = \rho_0, \\ \varepsilon \frac{\partial \tilde{\rho}_\varepsilon}{\partial \nu} + (\tilde{\rho}_\varepsilon - \rho^{in})(v \cdot \nu)^- = 0, & \text{sur } \partial\Omega. \end{cases}$$

THÉORÈME (CONVERGENCE FORTE)

Pour tout $p < +\infty$

$$\tilde{\rho}_\varepsilon \xrightarrow{\varepsilon \rightarrow 0} \rho, \quad \text{dans } \mathcal{C}^0([0, T], L^p(\Omega)),$$

$$\gamma \tilde{\rho}_\varepsilon \xrightarrow{\varepsilon \rightarrow 0} \gamma \rho, \quad \text{dans } L^p([0, T] \times \Gamma, |d\mu_\nu|).$$

IDÉE : Comparer $\tilde{\rho}_\varepsilon$ à $\rho_{\varepsilon^\alpha} = \rho \star_\nu \eta_{\varepsilon^\alpha}$, $\alpha < 1/2$ qui vérifie

$$\partial_t \rho_{\varepsilon^\alpha} + \operatorname{div}(\rho_{\varepsilon^\alpha} v) + c\rho_{\varepsilon^\alpha} = R_{\varepsilon^\alpha}.$$

On utilise que, par définition, on a $\|\nabla \rho_{\varepsilon^\alpha}\|_{L^2} \leq C/\varepsilon^\alpha$.

TH. DE TRACES ET PB DE CAUCHY-DIRICHLET DANS L^p

L'espace de traces naturel n'est pas $L^p([0, T[\times \Gamma, |d\mu_v|)$.

STABILITÉ FORTE PAR RAPPORT AUX DONNÉES

Applications aux équations de Navier-Stokes.

RÉGULARITÉ EN ESPACE DES SOLUTIONS DU TRANSPORT

- 1 INTRODUCTION
- 2 TH. DE TRACES - PB. DE CAUCHY/DIRICHLET
- 3 ANALYSE DU SCHÉMA UPWIND IMPLICITE

- Le schéma upwind (ou **décentré amont**) est le schéma le plus simple qui assure stabilité, monotonie et convergence.
- En 1D, le schéma implicite pour $\partial_t \rho + v(t, x) \partial_x \rho = 0$, s'écrit

$$\frac{\rho_i^{n+1} - \rho_i^n}{\delta t} + (v_i^n)^+ \frac{\rho_i^{n+1} - \rho_{i-1}^{n+1}}{\delta x} - (v_i^n)^- \frac{\rho_{i+1}^{n+1} - \rho_i^{n+1}}{\delta x} = 0.$$

- La version explicite fonctionne aussi mais sous condition CFL.
- C'est le pendant linéaire du schéma de Godunov pour les lois de conservation scalaire.

- Le schéma upwind (ou **décentré amont**) est le schéma le plus simple qui assure stabilité, monotonie et convergence.
- En 1D, le schéma implicite pour $\partial_t \rho + v(t, x) \partial_x \rho = 0$, s'écrit

$$\frac{\rho_i^{n+1} - \rho_i^n}{\delta t} + (v_i^n)^+ \frac{\rho_i^{n+1} - \rho_{i-1}^{n+1}}{\delta x} - (v_i^n)^- \frac{\rho_{i+1}^{n+1} - \rho_i^{n+1}}{\delta x} = 0.$$

- La version explicite fonctionne aussi mais sous condition CFL.
- C'est le pendant linéaire du schéma de Godunov pour les lois de conservation scalaire.

BUTS DE CE TRAVAIL

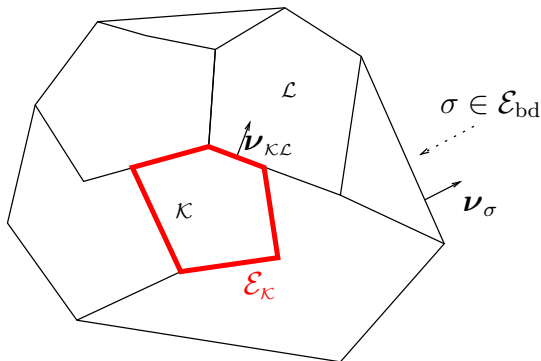
(B., 2012)

- Ecrire le schéma upwind multi-D sur un maillage général pour des champs v peu réguliers avec prise en compte des conditions au bord.
- Montrer qu'il est bien posé, monotone, stable, etc ...
- Montrer la convergence **forte uniforme en temps** de la solution approchée, c'est-à-dire dans $C^0([0, T], L^p(\Omega))$ pour tout $p < +\infty$ **sans hypothèse de régularité sur les données**.
- Etudier la stabilité par rapport aux données.

- (Kuznetsov, 1976) convergence à l'ordre $1/2$ sur maillage cartésien, champ v lipschitzien et donnée initiale BV .
- (Vila-Villedieu, 2003) Ordre $1/2$ (optimal) pour les systèmes à coefficients constants.
- (Merlet-Vovelle, 2007) (Merlet, 2007) Ordre $1/2$ sur maillage quelconque, champ lipschitzien et donnée initiale BV .
- (Delarue-Lagoutière, 2010) Nouvelle preuve du résultat de Vovelle et Merlet par des techniques probabilistes.
- (Desprès, 2004) (Bouchut-Ghidaglia-Pascal, 2005) Etude fine du cas où le champ est constant.
- (Walkington, 2005) Convergence dans $L^p([0, T] \times \Omega)$ de schémas Discontinuous Galerkin sur maillages conformes et sans termes de bord.

MAILLAGE

- \mathcal{T} = Ens. de volumes de contrôle κ polygonaux, compacts, $\overset{\circ}{\kappa} \neq \emptyset$. On note $|\kappa|$ sa mesure, d_κ son diamètre.
- Arêtes (faces) : $\sigma = \kappa|\mathcal{L} = \kappa \cap \mathcal{L}$, ou les arêtes du bord. On note $|\sigma|$ leur mesure.
- Ensembles d'arêtes $\mathcal{E}_\kappa, \mathcal{E}, \mathcal{E}_{\text{bd}}, \mathcal{E}_{\text{int}}, \dots$
- Normales : $\nu_\sigma, \nu_{\kappa\mathcal{L}}, \nu_{\kappa\sigma}, \dots$
- Pas de temps constant $\delta t = T/N$.



MAILLAGE

- \mathcal{T} = Ens. de volumes de contrôle κ polygonaux, compacts, $\overset{\circ}{\kappa} \neq \emptyset$. On note $|\kappa|$ sa mesure, d_κ son diamètre.
- Arêtes (faces) : $\sigma = \kappa|\mathcal{L} = \kappa \cap \mathcal{L}$, ou les arêtes du bord. On note $|\sigma|$ leur mesure.
- Ensembles d'arêtes $\mathcal{E}_\kappa, \mathcal{E}, \mathcal{E}_{\text{bd}}, \mathcal{E}_{\text{int}}, \dots$
- Normales : $\nu_\sigma, \nu_{\kappa\mathcal{L}}, \nu_{\kappa\sigma}, \dots$
- Pas de temps constant $\delta t = T/N$.

DISCRÉTISATION DES DONNÉES

$$\forall \kappa \in \mathcal{T}, \sigma \in \mathcal{E}_\kappa, \forall n \leq N-1, \quad v_{\kappa\sigma}^n = \frac{1}{\delta t |\sigma|} \int_{t^n}^{t^{n+1}} \int_\sigma (v \cdot \nu_{\kappa\sigma}) dx dt,$$

$$\forall \kappa \in \mathcal{T}, \forall n \leq N-1, \quad c_\kappa^n = \frac{1}{\delta t |\kappa|} \int_{t^n}^{t^{n+1}} \int_\kappa c dx dt.$$

$$\forall \sigma \in \mathcal{E}_{\text{bd}}, \forall n \leq N-1, \quad \rho_\sigma^{in, n+1} = \frac{1}{\delta t |\sigma|} \int_{t^n}^{t^{n+1}} \int_\sigma \rho^{in} dx dt.$$

$$\forall \kappa \in \mathcal{T}, \quad \rho_\kappa^0 = \frac{1}{|\kappa|} \int_\kappa \rho^0(x) dx.$$

NOTATION : $v_{\mathcal{K}\sigma}^{n+}$ et $v_{\mathcal{K}\sigma}^{n-}$ sont les parties positives et négatives de $v_{\mathcal{K}\sigma}^n$

$$v_{\mathcal{K}\sigma}^n = v_{\mathcal{K}\sigma}^{n+} - v_{\mathcal{K}\sigma}^{n-}, \quad |v_{\mathcal{K}\sigma}^n| = v_{\mathcal{K}\sigma}^{n+} + v_{\mathcal{K}\sigma}^{n-}$$

SCHÉMA VF UPWIND IMPLICITE : On cherche $(\rho_{\mathcal{K}}^n)_{n \in \llbracket 0, N \rrbracket}$ t.q.

$$\left\{ \begin{array}{l} |\mathcal{K}| \frac{\rho_{\mathcal{K}}^{n+1} - \rho_{\mathcal{K}}^n}{\delta t} + \sum_{\sigma \in \mathcal{E}_{\mathcal{K}} \cap \mathcal{E}_{\text{int}}} |\sigma| (v_{\mathcal{K}\sigma}^{n+} \rho_{\mathcal{K}}^{n+1} - v_{\mathcal{K}\sigma}^{n-} \rho_{\mathcal{L}}^{n+1}) \\ \quad + \sum_{\sigma \in \mathcal{E}_{\mathcal{K}} \cap \mathcal{E}_{\text{bd}}} |\sigma| v_{\mathcal{K}\sigma}^n \rho_{\sigma}^{n+1} \\ \quad + |\mathcal{K}| c_{\mathcal{K}}^n \rho_{\mathcal{K}}^{n+1} = 0, \quad \forall n, \forall \mathcal{K} \in \mathcal{T}, \\ \rho_{\sigma}^{n+1} = \begin{cases} \rho_{\sigma}^{\text{in}, n+1}, & \forall n, \forall \sigma \in \mathcal{E}_{\text{bd}}, \text{ t.q. } v_{\mathcal{K}\sigma}^n \leq 0, \\ \rho_{\mathcal{K}}^{n+1}, & \forall n, \forall \sigma \in \mathcal{E}_{\text{bd}}, \text{ t.q. } v_{\mathcal{K}\sigma}^n > 0, \end{cases} \\ \rho_{\mathcal{K}}^0 = \frac{1}{|\mathcal{K}|} \int_{\mathcal{K}} \rho^0 dx, \quad \forall \mathcal{K} \in \mathcal{T}. \end{array} \right. \quad (\text{VF})$$

THÉORÈME

On suppose $(c + \operatorname{div} v)^- \in L^1(]0, T[, L^\infty(\Omega))$.

- ❶ Il existe $\delta t_{\max} > 0$ tel que, si $\delta t \leq \delta t_{\max}$, le schéma (VF) admet une unique solution pour toutes données bornées ρ^0 et ρ^{in} .

La solution approchée est notée

$$\rho_{\mathcal{T}, \delta t} \stackrel{\text{def}}{=} \sum_n \sum_{\kappa \in \mathcal{T}} \rho_\kappa^{n+1} 1_{]t^n, t^{n+1}[\times \kappa} \in L^\infty(]0, T[\times \Omega).$$

- ❷ Dans ces conditions le schéma est monotone

$$\rho^0 \geq 0, \rho^{in} \geq 0 \implies \rho_\kappa^n \geq 0, \forall \kappa \in \mathcal{T}, \forall n.$$

- ❸ Enfin, on a la borne a priori suivante

$$\|\rho_{\mathcal{T}, \delta t}\|_{L^\infty} \leq \max(\|\rho^0\|_{L^\infty}, \|\rho^{in}\|_{L^\infty}) \exp\left(2 \int_0^T \|(c + \operatorname{div} v)^-\|_{L^\infty} dt\right).$$

On suppose que

- $\inf_{\Omega} \rho^0 > 0$ et $\inf_{]0, T[\times \Gamma} \rho^{in} > 0$.
- $(c + \operatorname{div} v)^+ \in L^1(]0, T[, L^\infty(\Omega))$

On peut alors montrer une borne inférieure uniforme

$$\inf_{n, \mathcal{K}} \rho_{\mathcal{K}}^n \geq \inf(\rho^0, \rho^{in}) \exp\left(-\int_0^T \|(c + \operatorname{div} v)^+\|_{L^\infty} dt\right).$$

MÊME ESTIMATION QUE SUR LE PROBLÈME CONTINU

\rightsquigarrow Utile dans les applications.

Rappel pour l'app. parabolique $\varepsilon \|\nabla \tilde{\rho}_\varepsilon\|_{L^2([0,T] \times \Omega)}^2 \leq C.$ (*)

THÉORÈME

On suppose toujours $(c + \operatorname{div} v)^- \in L^1([0, T], L^\infty(\Omega))$ et $\delta t \leq \delta t_{\max}$.
La solution approchée $\rho_{\mathcal{T}, \delta t}$ vérifie l'estimation suivante

$$\sum_{n=0}^{N-1} \delta t \sum_{\substack{\sigma \in \mathcal{E}_{\text{int}} \\ \sigma = \mathcal{K} | \mathcal{L}}} |\sigma| |v_{\mathcal{K}\mathcal{L}}^n| (\rho_{\mathcal{L}}^{n+1} - \rho_{\mathcal{K}}^{n+1})^2 \leq M,$$

où M ne dépend que des données.

Cette estimation ressemble à (*) avec $\varepsilon \sim |v| h_{\mathcal{T}}$.

$$\sum_{n=0}^{N-1} \delta t \sum_{\substack{\sigma \in \mathcal{E}_{\text{int}} \\ \sigma = \mathcal{K} | \mathcal{L}}} \underbrace{d_{\mathcal{K}\mathcal{L}} |\sigma|}_{\sim h_{\mathcal{T}}^d} d_{\mathcal{K}\mathcal{L}} |v_{\mathcal{K}\mathcal{L}}^n| \left(\frac{\rho_{\mathcal{L}}^{n+1} - \rho_{\mathcal{K}}^{n+1}}{d_{\mathcal{K}\mathcal{L}}} \right)^2 \leq M,$$

- La “viscosité” ici vaut $\varepsilon \sim d_{\mathcal{K}\mathcal{L}} |v_{\mathcal{K}\mathcal{L}}^n|$.
- L'estimation est inutile là où $v \equiv 0$.

PREUVE

On multiplie le schéma par ρ_{κ}^{n+1} et on somme sur n et κ .

$$\begin{aligned}
 & \frac{1}{2} \|\rho_T^N\|_{L^2}^2 + \frac{1}{2} \sum_{n=0}^{N-1} \delta t \|\rho_T^{n+1} - \rho_T^n\|_{L^2}^2 \\
 & \quad + \sum_{n=0}^{N-1} \delta t \sum_{\kappa \in \mathcal{T}} |\kappa| \left(c_{\kappa}^n + \frac{1}{2} (\operatorname{div} v)_{\kappa}^n \right) |\rho_{\kappa}^{n+1}|^2 \\
 & \quad + \frac{1}{2} \sum_{n=0}^{N-1} \delta t \sum_{\sigma = \kappa | \mathcal{L} \in \mathcal{E}_{\text{int}}} |\sigma| |v_{\kappa \mathcal{L}}^n| (\rho_{\mathcal{L}}^{n+1} - \rho_{\kappa}^{n+1})^2 \\
 & \quad + \frac{1}{2} \sum_{n=0}^{N-1} \delta t \sum_{\substack{\sigma \in \mathcal{E}_{\text{bd}} \\ v_{\sigma}^n < 0}} |\sigma| |v_{\sigma}^n| (\rho_{\sigma}^{in, n+1} - \rho_{\kappa}^{n+1})^2 + \frac{1}{2} \sum_{n=0}^{N-1} \delta t \sum_{\substack{\sigma \in \mathcal{E}_{\text{bd}} \\ v_{\sigma}^n \geq 0}} |\sigma| |v_{\sigma}^n| (\rho_{\sigma}^{n+1})^2 \\
 & \quad = \frac{1}{2} \|\rho_T^0\|_{L^2}^2 + \frac{1}{2} \sum_{n=0}^{N-1} \delta t \sum_{\substack{\sigma \in \mathcal{E}_{\text{bd}} \\ v_{\sigma}^n < 0}} |\sigma| |v_{\sigma}^n| (\rho_{\sigma}^{in, n+1})^2.
 \end{aligned}$$

- Sous des hypothèses raisonnables de régularité des maillages

$$\forall \kappa \in \mathcal{T}, \forall f \in W^{1,1}(\kappa), \quad \|f\|_{L^1(\partial\kappa)} \leq \frac{C}{d_\kappa} \|f\|_{W^{1,1}(\kappa)}.$$

- Sous une hypothèse du type $\delta t \leq Ch_{\mathcal{T}}$.

THÉORÈME

On suppose $(c + \operatorname{div} v)^-$, $(\operatorname{div} v)^+ \in L^1(]0, T[, L^\infty(\Omega))$.

Alors quand δt et $h_{\mathcal{T}}$ tendent vers 0, on a

- La solution approchée $\rho_{\mathcal{T}, \delta t}$ converge vers la solution ρ du problème continu dans $L^\infty(]0, T[\times \Omega)$ faible-*.
- La trace de la solution approchée

$$\gamma \rho_{\mathcal{T}, \delta t} \stackrel{\text{def}}{=} \sum_n \sum_{\sigma \in \mathcal{E}_{\text{bd}}} \rho_\kappa^{n+1} 1_{]t^n, t^{n+1}[\times \sigma},$$

converge vers $\gamma \rho$ dans $L^\infty(]0, T[\times \Gamma, |d\mu_v|)$ faible-*.

PRINCIPE DE LA PREUVE

- Par la borne a priori L^∞ on extrait une sous-suite telle que

$$\rho_{T,\delta t} \rightharpoonup \rho, \text{ et } \gamma \rho_{T,\delta t} \rightharpoonup g.$$

- On prend une fonction test $\varphi \in \mathcal{C}_c^\infty([0, T] \times \overline{\Omega})$; on multiplie l'équation du schéma par $\varphi_{\mathcal{K}}^n = \varphi(t^n, x_{\mathcal{K}})$ où $x_{\mathcal{K}}$ est un point quelconque dans \mathcal{K} ; on somme tout sur n et sur \mathcal{K} .
- On essaie de passer à la limite dans tous les termes pour obtenir :
 - Le couple (ρ, g) vérifie la formulation faible du problème pour la bonne donnée initiale.
 - La trace vaut bien $g = \rho^{in}$ là où $v \cdot \nu < 0$.
- Par unicité de la solution du problème continu on aura bien la convergence de toute la suite.

EXEMPLES DE TERMES

On suppose $\varphi \in \mathcal{C}_c^\infty([0, T[\times\Omega))$

$$T_1 = \sum_{n=0}^{N-1} \sum_{\kappa \in \mathcal{T}} |\kappa| (\rho_\kappa^{n+1} - \rho_\kappa^n) \varphi(t^n, x_\kappa).$$

$$\begin{aligned} T_1 &= - \sum_{n=0}^{N-1} \sum_{\kappa \in \mathcal{T}} \rho_\kappa^{n+1} \int_{t^n}^{t^{n+1}} |\kappa| \partial_t \varphi(t, x_\kappa) dt - \sum_{\kappa \in \mathcal{T}} |\kappa| \rho_\kappa^0 \varphi(0, x_\kappa) \\ &= - \int_0^T \int_\Omega \rho_{T, \delta t} \partial_t \varphi dx dt - \int_\Omega \rho_T^0 \varphi(0, \cdot) dx + O_\varphi(h_T) \\ &\xrightarrow[\substack{\delta t \rightarrow 0 \\ h_T \rightarrow 0}]{} - \int_0^T \int_\Omega \rho \partial_t \varphi dx dt - \int_\Omega \rho^0 \varphi(0, \cdot) dx. \end{aligned}$$

EXEMPLES DE TERMES

On suppose $\varphi \in \mathcal{C}_c^\infty([0, T[\times \Omega))$

$$T_2(v) = \sum_{n=0}^{N-1} \delta t \sum_{\substack{\sigma \in \mathcal{E}_{\text{int}} \\ \sigma = \mathcal{K} | \mathcal{L}}} |\sigma| (v_{\mathcal{K}\mathcal{L}}^{n-} (\rho_{\mathcal{K}}^{n+1} - \rho_{\mathcal{L}}^{n+1}) \varphi(t^n, \mathbf{x}_{\mathcal{K}}) + v_{\mathcal{K}\mathcal{L}}^{n+} (\rho_{\mathcal{L}}^{n+1} - \rho_{\mathcal{K}}^{n+1}) \varphi(t^n, \mathbf{x}_{\mathcal{L}})).$$

LEMME

- ❶ Pour tout $w_1, w_2 \in L^1(]0, T[, (W^{1,1}(\Omega))^d)$ on a

$$|T_2(w_1) - T_2(w_2)| \leq C \|w_1 - w_2\|_{L^1(W^{1,1})}.$$

- ❷ Pour tout $w \in \mathcal{C}^\infty([0, T] \times \bar{\Omega})^d$ on a

$$T_2(w) + T_2'(w) \xrightarrow{(\delta t, h_T) \rightarrow 0} - \int_0^T \int_{\Omega} \rho \operatorname{div}(\varphi w) dt dx,$$

où $T_2'(w)$ vérifie $|T_2'(w)| \leq C \|v - w\|_{L^1(W^{1,1})}$.

Bilan : $v \in L^1((W^{1,1})^d) \Rightarrow T_2(v) \xrightarrow{(\delta t, h_T) \rightarrow 0} - \int_0^T \int_{\Omega} \rho \operatorname{div}(\varphi v) dt dx.$

THÉORÈME

Sous les mêmes hypothèses que précédemment on a

$$\|\rho_{\mathcal{T},\delta t} - \rho\|_{L^\infty([0,T[,L^p(\Omega))} \xrightarrow[h_{\mathcal{T}} \rightarrow 0]{\delta t \rightarrow 0} 0, \quad \forall p < +\infty,$$

$$\|\gamma \rho_{\mathcal{T},\delta t} - \gamma \rho\|_{L^p([0,T[\times \Gamma, |d\mu_v|)} \xrightarrow[h_{\mathcal{T}} \rightarrow 0]{\delta t \rightarrow 0} 0, \quad \forall p < +\infty.$$

IDÉES

Même principe que pour l'approximation parabolique.

- Friedrichs : Soit $\rho^\varepsilon \in W^{1,\infty}([0,T[\times \Omega) \rightarrow \rho$ telle que

$$\partial_t \rho^\varepsilon + \operatorname{div}(\rho^\varepsilon v) + c \rho^\varepsilon = R_\varepsilon \rightarrow 0 \text{ dans } L^1 \text{ fort.}$$

- On projette ρ^ε sur le maillage $\rightsquigarrow \rho_{\mathcal{T},\delta t}^\varepsilon$ et on écrit

$$\begin{aligned} \|\rho_{\mathcal{T},\delta t} - \rho\|_{L^\infty(L^2)} &\leq \|\rho_{\mathcal{T},\delta t} - \rho_{\mathcal{T},\delta t}^\varepsilon\|_{L^\infty(L^2)} \\ &\quad + \underbrace{\|\rho_{\mathcal{T},\delta t}^\varepsilon - \rho^\varepsilon\|_{L^\infty(L^2)}}_{\leq C \frac{\delta t + h_{\mathcal{T}}}{\varepsilon}} + \underbrace{\|\rho^\varepsilon - \rho\|_{L^\infty(L^2)}}_{\substack{\text{ind. de } \delta t, h_{\mathcal{T}} \\ \varepsilon \rightarrow 0} \rightarrow 0}. \end{aligned}$$

On note \mathcal{L}_κ^n l'opérateur qui définit le schéma. On a donc

$$\mathcal{L}_\kappa^n(\rho_{T,\delta t}) = 0, \quad \forall \kappa, \forall n$$

et on calcule l'action du schéma sur la projection de ρ^ε

$$\mathcal{L}_\kappa^n(\rho_{T,\delta t}^\varepsilon) = |\kappa|(\delta_\kappa^{\varepsilon,n+1} - \delta_\kappa^{\varepsilon,n}) + |\kappa|R_\kappa^{\varepsilon,n} + \sum_{\sigma \in \mathcal{E}_\kappa} |\sigma| \delta_{\kappa\sigma}^{\varepsilon,n} + \sum_{\sigma \in \mathcal{E}_\kappa} |\sigma| \gamma_{\kappa\sigma}^{\varepsilon,n},$$

avec

$$\begin{aligned} \delta_\kappa^{\varepsilon,n} &= \frac{1}{|\kappa|} \int_\kappa (\rho^\varepsilon(t^n, x_\kappa) - \rho^\varepsilon(t^n, x)) dx, \\ \delta_{\kappa\sigma}^{\varepsilon,n} &= \frac{1}{\delta t |\sigma|} \int_{t^n}^{t^{n+1}} \int_\sigma (v \cdot \nu_{\kappa\sigma}) (\rho^\varepsilon(t^{n+1}, x_\sigma) - \rho^\varepsilon(t, x)) dx dt, \\ \gamma_{\kappa\sigma}^{\varepsilon,n} &= \begin{cases} -|v_{\kappa\sigma}^n| \frac{\rho_{\mathcal{L}}^{\varepsilon,n+1} - \rho_\kappa^{\varepsilon,n+1}}{2} + v_{\kappa\sigma}^n (\rho_\sigma^{\varepsilon,n+1} - \rho^\varepsilon(t^{n+1}, x_\sigma)), & \text{pour } \sigma \in \mathcal{E}_{\text{int}} \\ v_{\kappa\sigma}^n (\rho_\sigma^{\varepsilon,n+1} - \rho^\varepsilon(t^{n+1}, x_\sigma)), & \text{pour } \sigma \in \mathcal{E}_{\text{bd}} \end{cases} \\ R_\kappa^{\varepsilon,n} &= \frac{1}{\delta t |\kappa|} \int_{t^n}^{t^{n+1}} \int_\kappa R^\varepsilon dx dt + \frac{1}{\delta t |\kappa|} \int_{t^n}^{t^{n+1}} \int_\kappa c(t, x) (\rho^\varepsilon(t^n, x_\kappa) - \rho^\varepsilon(t, x)) dx dt. \end{aligned}$$

On note \mathcal{L}_κ^n l'opérateur qui définit le schéma. On a donc

$$\mathcal{L}_\kappa^n(\rho_{T,\delta t}) = 0, \quad \forall \kappa, \forall n$$

et on calcule l'action du schéma sur la projection de ρ^ε

$$\mathcal{L}_\kappa^n(\rho_{T,\delta t}^\varepsilon) = |\kappa|(\delta_\kappa^{\varepsilon,n+1} - \delta_\kappa^{\varepsilon,n}) + |\kappa|R_\kappa^{\varepsilon,n} + \sum_{\sigma \in \mathcal{E}_\kappa} |\sigma| \delta_{\kappa\sigma}^{\varepsilon,n} + \sum_{\sigma \in \mathcal{E}_\kappa} |\sigma| \gamma_{\kappa\sigma}^{\varepsilon,n},$$

ESTIMATION "USUELLE" DES TERMES SOURCES

$$\sum_{n=0}^{N-1} \sum_{\kappa \in \mathcal{T}} |\mathcal{L}_\kappa^n(\rho_{T,\delta t} - \rho_{T,\delta t}^\varepsilon)| \leq C \|R^\varepsilon\|_{L^1} + O_\varepsilon(\delta t + h_T).$$

ESTIMATION D'ÉNERGIE

$$\implies \|\rho_{T,\delta t} - \rho_{T,\delta t}^\varepsilon\|_{L^\infty(L^p)} \leq C \|R^\varepsilon\|_{L^1} + O_\varepsilon(\delta t + h_T).$$

QUELQUES INGRÉDIENTS

- On utilise aussi une estimation $L^2(H^1)$ faible.
- Certains termes de bord sont pénibles mais on s'en sort grâce à

$$\sum_{n=0}^{N-1} \sum_{\substack{\sigma \in \mathcal{E}_{\text{bd}} \\ v_{\kappa\sigma}^n < 0}} \int_{t^n}^{t^{n+1}} \int_\sigma (v \cdot \nu_\sigma)^+ dx dt \xrightarrow[\delta t \rightarrow 0]{h_T \rightarrow 0} 0.$$

A PROPOS DE L'ESTIMATION $L^2(H^1)$ FAIBLE

La convergence forte de la solution approchée, donne en fait *a posteriori* que

$$\sum_{n=0}^{N-1} \delta t \sum_{\sigma \in \mathcal{E}_{\text{bd}}} |\sigma| |v_{\kappa\sigma}^n| (\rho_{\kappa}^{n+1} - \rho_{\sigma}^{n+1})^2$$

$$+ \sum_{n=0}^{N-1} \delta t \sum_{\substack{\sigma \in \mathcal{E}_{\text{int}} \\ \sigma = \kappa | \mathcal{L}}} |\sigma| |v_{\kappa\mathcal{L}}^n| (\rho_{\mathcal{L}}^{n+1} - \rho_{\kappa}^{n+1})^2 \xrightarrow[\substack{\delta t \rightarrow 0 \\ h_{\mathcal{T}} \rightarrow 0}]{} 0.$$

“RENORMALISATION” DISCRÈTE

 $\forall \beta \in \mathcal{C}^0, \mathcal{C}^1$ p.m.

$$\begin{aligned}
& |\kappa| \frac{\beta(\rho_{\kappa}^{n+1}) - \beta(\rho_{\kappa}^n)}{\delta t} \\
& + \sum_{\sigma \in \mathcal{E}_{\kappa} \cap \mathcal{E}_{\text{int}}} |\sigma| (v_{\kappa\sigma}^{n+} \beta(\rho_{\kappa}^{n+1}) - v_{\kappa\sigma}^{n-} \beta(\rho_{\mathcal{L}}^{n+1})) + \sum_{\sigma \in \mathcal{E}_{\kappa} \cap \mathcal{E}_{\text{bd}}} |\sigma| v_{\kappa\sigma}^n \beta(\rho_{\sigma}^{n+1}) \\
& \quad + |\kappa| c_{\kappa}^n \beta'(\rho_{\kappa}^{n+1}) \rho_{\kappa}^{n+1} + |\kappa| (\operatorname{div} v)_{\kappa}^n (\beta'(\rho_{\kappa}^{n+1}) \rho_{\kappa}^{n+1} - \beta(\rho_{\kappa}^{n+1})) \\
& \qquad \qquad \qquad = |\kappa| R_{\kappa}^{n+1}, \quad \forall n \in \llbracket 0, N-1 \rrbracket, \forall \kappa \in \mathcal{T},
\end{aligned}$$

$$\text{avec } \begin{cases} \|R_{\mathcal{T}, \delta t}\|_{L^1} \xrightarrow[h_{\mathcal{T}} \rightarrow 0, \delta t \rightarrow 0]{} 0, \\ \beta \text{ convexe} \Rightarrow R_{\mathcal{T}, \delta t} \leq 0, \\ \beta \text{ concave} \Rightarrow R_{\mathcal{T}, \delta t} \geq 0. \end{cases}$$

On utilise ici que

$$\forall \alpha \neq 0, \text{ on a } \sum_{n=0}^{N-1} \delta t \sum_{\kappa \in \mathcal{T}} |\kappa| c_{\kappa}^n + (\operatorname{div} v)_{\kappa}^n |\mathbf{1}_{\{\rho_{\kappa}^{n+1} = \alpha\}} \xrightarrow{(\delta t, h_{\mathcal{T}}) \rightarrow 0} 0.$$

IMPORTANT EN VUE DE L'ÉTUDE DE COUPLAGES

DONNÉES APPROCHÉES - STABILITÉ : Tous les résultats demeurent si

$$v_{\mathcal{K}\sigma}^n = -v_{\mathcal{L}\sigma}^n, \quad \forall \sigma = \kappa | \mathcal{L} \in \mathcal{E}_{\text{int}}, \quad \forall n \in \llbracket 0, N \rrbracket.$$

$$\delta t \sup_n \left(\sup_{\kappa \in \mathcal{T}} (c_{\kappa}^n + (\text{div } v)_{\kappa}^n)^- \right) < 1,$$

$$\sum_{n=0}^{N-1} \delta t \left(\sup_{\kappa \in \mathcal{T}} (c_{\kappa}^n + (\text{div } v)_{\kappa}^n)^- \right) \leq M$$

$$\sum_{n=0}^N \sum_{\kappa \in \mathcal{T}} c_{\kappa}^n \mathbb{1}_{]t^n, t^{n+1}[\times \kappa} \xrightarrow{(\delta t, h_{\mathcal{T}}) \rightarrow 0} c, \quad \text{dans } L^1(]0, T[\times \Omega).$$

$$\sum_{n=0}^N \sum_{\kappa \in \mathcal{T}} (\text{div } v)_{\kappa}^n \mathbb{1}_{]t^n, t^{n+1}[\times \kappa} \xrightarrow{(\delta t, h_{\mathcal{T}}) \rightarrow 0} \text{div } v, \quad \text{dans } L^1(]0, T[\times \Omega).$$

$$\sum_{n=0}^N \sum_{\kappa \in \mathcal{T}} \sum_{\sigma \in \mathcal{E}_{\kappa}} d_{\kappa} \left| \delta t |\sigma| v_{\mathcal{K}\sigma}^n - \int_{t^n}^{t^{n+1}} \int_{\sigma} (v \cdot \nu_{\mathcal{K}\sigma}) \, dx \, dt \right| \xrightarrow{(\delta t, h_{\mathcal{T}}) \rightarrow 0} 0. \quad (\star)$$

$$\sum_{n=0}^N \sum_{\sigma \in \mathcal{E}_{\text{bd}}} v_{\sigma}^n \mathbb{1}_{]t^n, t^{n+1}[\times \sigma} \xrightarrow{(\delta t, h_{\mathcal{T}}) \rightarrow 0} (v \cdot \nu), \quad \text{dans } L^1(]0, T[\times \Gamma).$$

DONNÉES APPROCHÉES - STABILITÉ : Tous les résultats demeurent si

$$\sum_{n=0}^N \sum_{\mathcal{K} \in \mathcal{T}} \sum_{\sigma \in \mathcal{E}_{\mathcal{K}}} d_{\mathcal{K}} \left| \delta t |\sigma| v_{\mathcal{K}\sigma}^n - \int_{t^n}^{t^{n+1}} \int_{\sigma} (v \cdot \nu_{\mathcal{K}\sigma}) dx dt \right| \xrightarrow{(\delta t, h_{\mathcal{T}}) \rightarrow 0} 0. \quad (\star)$$

FAIT

La propriété (\star) est une convergence L^1 !

EXEMPLE

On suppose que $v_{\mathcal{K}\sigma}^n = V_{\sigma}^n \cdot \nu_{\mathcal{K}\sigma}$, avec $V_{\sigma}^n \in \mathbb{R}^d$:

$(\star) \iff$

$$\sum_{n=0}^N \sum_{\sigma \in \mathcal{E}} V_{\sigma}^n \mathbb{1}_{]t^n, t^{n+1}[\times D_{\sigma}} \xrightarrow{(\delta t, h_{\mathcal{T}}) \rightarrow 0} v, \quad \text{dans } (L^1(]0, T[\times \Omega))^d,$$

où D_{σ} est la cellule diamant associée à σ .

Ceci **nécessite** la régularité $v \in L^1(]0, T[, (W^{1,1}(\Omega))^d)$ mais la convergence n'est demandée **que** dans $(L^1(]0, T[\times \Omega))^d$.

Domaine $\Omega =]0, 1[^2$,

Champ stationnaire $v(x, y) = \begin{pmatrix} 0.3 \\ f(x) \end{pmatrix}$,

avec $f(x) = \begin{cases} |x - 0.5|^{1/2}, & \text{pour } x < 0.5 \\ |x - 0.5|^{1/4}, & \text{pour } x > 0.5. \end{cases}$

N.B. : $v \in (W^{1,p}(\Omega))^2$ pour tout $p < 4/3$.

Domaine $\Omega =]0, 1[^2$,

Champ stationnaire $v(x, y) = \begin{pmatrix} 0.3 \\ f(x) \end{pmatrix}$,

avec $f(x) = \begin{cases} |x - 0.5|^{1/2}, & \text{pour } x < 0.5 \\ |x - 0.5|^{1/4}, & \text{pour } x > 0.5. \end{cases}$

N.B. : $v \in (W^{1,p}(\Omega))^2$ pour tout $p < 4/3$.

Donnée initiale : $\rho(0, x) = 0$,

Donnée au bord : $\rho^{in} = \begin{cases} 1, & \text{sur } \{x = 0\}, \\ 2, & \text{sur } \{y = 0\}. \end{cases}$

Sol. exacte : $\rho(t, x, y) = \begin{cases} 1, & \text{pour } x < 0.3t \text{ et } y > \frac{1}{0.3}(F(x) - F(0)), \\ 2, & \text{pour } x < 0.3t \text{ et } y < \frac{1}{0.3}(F(x) - F(0)), \\ 2, & \text{pour } x > 0.3t \text{ et } y < \frac{1}{0.3}(F(x) - F(x - 0.3t)), \\ 0, & \text{ailleurs,} \end{cases}$

où F est une primitive de f .

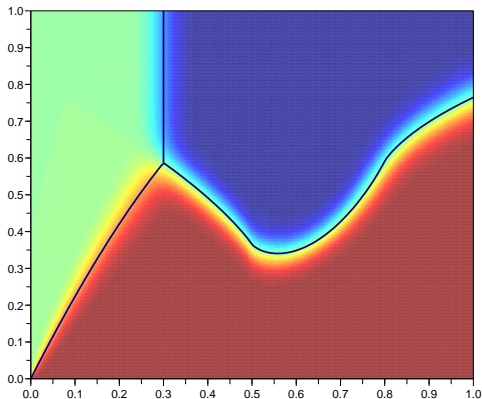
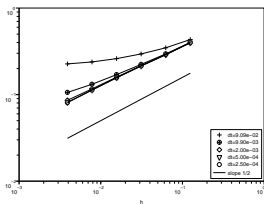
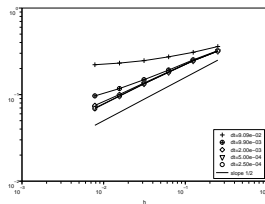


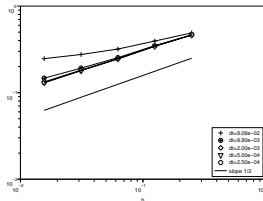
FIGURE: Solutions exacte et approchée au temps final $T = 1$



(a) Maillage rectangle uniforme



(b) Maillage non structuré



(c) Maillage rectangle loc. raffiné

FIGURE: Erreur L^1 au temps final par rapport au pas $h_{\mathcal{T}}$

THÉORIE DE TRACES POUR LES SOLUTIONS FAIBLES

- Définition d'une trace pour des solutions faibles du transport/réaction sous les hypothèses DiPerna-Lions.
- Existence et unicité d'une solution au problème de Cauchy-Dirichlet.
- Propriétés de renormalisation et de stabilité.

Ré-interpréter ces résultats en termes de flot Lagrangien du champ reste à faire.

SCHEMA UPWIND

- Construction et analyse du schéma décentré amont sous les hypothèses DiPerna-Lions.
- Prise en compte des termes de bord.
- Preuve de la convergence forte uniforme en temps.
- Stabilité par rapport aux approximations des données.

A ce jour il n'existe pas d'estimation de l'erreur (d'ordre $\frac{1}{2}$?) dans ce cadre.